



Laboratorium EMVO Sp. J. Urbański, Pawelak
ul. Jasna 1
00-013 Warszawa

tel. +48 22 780 29 64

e-mail: laboratorium@emvo.pl



AB 1630

Sprawozdanie z pomiarów pól elektromagnetycznych - środowisko ogólne nr 2/12/OŚ/2020-DGC



Nr i nazwa stacji	BT43381_KSZ_PRZYLESIE	
Adres	75-452 Koszalin, ul. Al. Jana Pawła II, gm. Koszalin, woj. zachodniopomorskie	
Opracowanie	Martyna Karczmarczyk	Specjalista ds. pomiarów
Autoryzacja	Andrzej Urbański	Kierownik Laboratorium
Podpis		
Data	2020-12-30	

Spis treści

1. Informacje ogólne.....	3
2. Podstawa prawna.	3
3. Opis pomiarów.....	3
4. Zróżnicowanie dopuszczalne poziomy pól elektromagnetycznych.....	5
5. Charakterystyka źródeł PEM.....	5
6. Wyniki pomiarów.....	5
7. Stwierdzenie zgodności	7
8. Oświadczenie.....	8
9. Spis załączników.	8

1. Informacje ogólne.

Zleceniodawca	DIGICOS S.A. - Biuro Gdynia, ul. Sosnowa 10, 83-010 Jagatowo Osoba udzielająca informacji – Ewa Klugajuk
Istotne informacje dostarczone przez klienta	komplet informacji niezbędnych do wykonania pomiarów i opracowania sprawozdania
Dane otrzymane od klienta mogące mieć wpływ na ważność wyników	Dane anten sektorowych, dane anten radioliniowych, parametry pracy instalacji, poprawka pomiarowa
Prowadzący instalację	Polkomtel Infrastruktura sp. z o.o., ul. Konstruktorska 4, 02-673 Warszawa
Lokalizacja obiektu	75-452 Koszalin, ul. Al. Jana Pawła II, gm. Koszalin, woj. zachodniopomorskie
Miejsce instalacji anten	Dach budynku
Miejsce instalacji urządzeń	Kontener
Osoby wykonujące pomiar	Paweł Rościszewski
Data wykonania pomiaru	30.12.2020
Temperatura na początku pomiaru [°C]	3,0
Temperatura na koniec pomiaru [°C]	2,5
Warunki atmosferyczne	Brak opadów
Wilgotność na początku pomiaru [%]	68,0
Wilgotność na koniec pomiaru [%]	67,5
Inne źródła pól elektromagnetycznych oznaczone na załączniku graficznym	Nie występują
Parametry pracy instalacji	Rzeczywisty

2. Podstawa prawna.

2.1 Normy i rozporządzenia:

- Rozporządzeniem Ministra Klimatu z dnia 17 lutego 2020 r. w sprawie sposobów sprawdzania dotrzymania dopuszczalnych poziomów pól elektromagnetycznych w środowisku (Dz.U. 2020 poz. 258)
- Rozporządzenie Ministra Zdrowia z dnia 17 grudnia 2019 r. w sprawie dopuszczalnych poziomów pól elektromagnetycznych w środowisku (Dz.U. 2019 poz. 2448)
- Obwieszczenie Marszałka Sejmu Rzeczypospolitej Polskiej z dnia 19 lipca 2019 r. w sprawie ogłoszenia jednolitego tekstu ustawy - Prawo ochrony środowiska (Dz.U. 2019 poz. 1396).

3. Opis pomiarów

Metodologia pomiarowa

Pomiary w oparciu o Rozporządzeniem Ministra Klimatu z dnia 17 lutego 2020 r. w sprawie sposobów sprawdzania dotrzymania dopuszczalnych poziomów pól elektromagnetycznych w środowisku (Dz.U. 2020 poz. 258).

Cel badań	Określenie wartości natężenia pola elektrycznego w miejscach dostępnych dla ludności.
Opis zestawu pomiarowego	Miernik Narda NBM 520, Sonda EF 9091, o zakresie pomiarowym 0,7 V/m - 400V/m pracująca w paśmie 0,1 – 90 GHz, świadectwo wydane przez Laboratorium Wzorców i Metrologii Pola Elektromagnetycznego, Instytut Telekomunikacji, Teleinformatyki i Akustyki Politechniki Wrocławskiej. Świadectwo ważne do 15.07.2021r. Miernik Narda NBM 520, Sonda EF 9091 pracująca w zakresie temperatury -10°C - +50°C oraz wilgotności 5% - 95%. Niepewność rozszerzona 59% przy poziomie ufności 95% z uwzględnieniem współczynnika rozszerzenia k=2.
Wypożyczenie pomocnicze	Termohigrometr Termoprodukt, typ: Termik+, nr identyfikacyjny 700618, świadectwo wzorcowania nr 1763/AH/19 z dn. 29.07.2019 r. wydane przez Laboratorium Pomiarowe "MUTECH". Przymiar wstępowy STABILA, nr identyfikacyjny 31WL, świadectwo wzorcowania nr 6W1/1826/19 z dn. 02.08.2019 r. wydane przez Dyrektora Okręgowego Urzędu Miar w Gdańsku. GPS Garmin 64s okresowo sprawdzany w punktach osnowy geodezyjnej klasy 3 na podstawie licencji punktu, zgodnie z procedurą sprawdzeń okresowych IS/PO16-11/03.
Pomiary zostały wykonane	<ol style="list-style-type: none"> 1. na głównych i pomocniczych kierunkach pomiarowych, na kierunkach zbliżonych do azymutów anten oraz w dodatkowych pionach pomiarowych zgodnie z wymaganiami pkt 12, 13, 14 i 19 załącznika do rozporządzenia Ministra Klimatu z dnia 17 lutego 2020 r. (Dz. U. 2020, poz. 258), 2. na obszarze pomiarowym, dla którego, na podstawie uprzednio wykonanych obliczeń uzyskanych od zleceniodawcy, stwierdzono możliwość występowania pól elektromagnetycznych o poziomach zbliżonych do poziomów dopuszczalnych zgodnie z wymaganiami pkt 5 ppkt 2 oraz pkt 13 ppkt 1 załącznika do rozporządzenia Ministra Klimatu z dnia 17 lutego 2020 r. (Dz. U. 2020, poz. 258). Wyniki obliczeń nie uwzględniały parametrów pracy instalacji innych operatorów występujących na obiekcie bądź w obszarze pomiarowym. 3. w miejscach dostępnych dla ludności. 4. miejsca niedostępne podczas wykonywania pomiarów wskazane zostały w pkt 6 (tabeli wyniki pomiarów) 5. wyniki pomiarów uzyskane zostały przy uwzględnieniu poprawek pomiarowych przekazanych przez zleceniodawcę oraz przy rzeczywistych warunkach pracy instalacji innych operatorów (w przypadku występowania). W takiej sytuacji uwzględniono jednolitą poprawkę pomiarową wynoszącą 1,65.
Szczególne warunki podczas wykonywania pomiarów	Pomiary wykonane zostały podczas obowiązywania w kraju stanu epidemii, zgodnie z art. 122a ust. 1b Ustawy z dnia 27 kwietnia 2001 r. – Prawo ochrony środowiska (Dz. U. z 2019 r. poz. 1396, z późn. zm.9))
Warunki pracy urządzeń nadawczych	Podczas pomiarów zostały uwzględnione poprawki pomiarowe przekazane przez zleceniodawcę, umożliwiające uwzględnienie maksymalnych parametrów pracy instalacji zgodnie z pkt 7 załącznika do Rozporządzeniem Ministra Klimatu z dnia 17 lutego 2020 r. w sprawie sposobów sprawdzania dotrzymania dopuszczalnych poziomów pól elektromagnetycznych w środowisku (Dz. U. 2020, poz. 258).

4. Zróżnicowanie dopuszczalne poziomy pól elektromagnetycznych.

Zakresy znajdują się w Dzienniku Ustaw z dnia 17 grudnia 2019 r. przedstawione są w tabeli nr 2 (Dz. U. z 2019r. poz. 2448).

Parametr fizyczny	Składowa elektryczna E (V/m)	Składowa magnetyczna H (A/m)	Gęstość mocy S (W/m ²)
Zakres Częstotliwości pola elektromagnetycznego			
od 400 MHz do 2000 MHz	$1,375 \times f^{0,5}$	$0,0037 \times f^{0,5}$	f / 200
od 2 GHz do 300 GHz	61	0,16	10

5. Charakterystyka źródeł PEM.

Zgodnie z informacją otrzymaną od Klienta pomiary zostały wykonane przy ustawieniach pochylecia anten zgodnych z pkt. 13, ppkt 2 załącznika do rozporządzenia Ministra Klimatu z dnia 17 lutego 2020 roku.

Tabela 1. Anteny sektorowe - dane otrzymane od klienta

Typ anteny	Współrzędne geograficzne	Azymut mechaniczny [°]	Azymut elektryczny [°]	Wysokość środka elektrycznego anten n.p.t. [m]	Pasmo częstotliwości	Zakres pochylecia elektrycznego [°]	Średnie pochylecie anten (ustawione do pomiarów PEM) [°]	Kąt pochylecia mechanicznego [°]	Moc EIRP [W]	Suma EIRP [W]
80010698	54°12'14.08"N 16°11'49.52"E	60	60	31,4	1800	4-6	3,0	0	3932	8063
					900	4-8	3,0	0	4131	
80010698	54°12'14.08"N 16°11'49.52"E	210	210	31,4	1800	4-6	3,5	0	3932	8063
					900	4-8	3,5	0	4131	
80010698	54°12'14.08"N 16°11'49.52"E	310	310	31,4	1800	4-6	4,0	0	3932	8063
					900	4-8	4,0	0	4131	
742213	54°12'14.08"N 16°11'49.52"E	60	60	31,4	2100	2-6	3,0	0	5439	5439
742213	54°12'14.08"N 16°11'49.52"E	210	210	31,4	2100	2-6	3,5	0	5439	5439
742213	54°12'14.08"N 16°11'49.52"E	310	310	31,4	2100	2-6	4,0	0	5439	5439
80010651	54°12'14.08"N 16°11'49.52"E	60	60	31,5	2600	2-6	3,0	0	5492	5492
80010651	54°12'14.08"N 16°11'49.52"E	220	220	31,5	2600	2-6	4,0	0	5492	5492
80010651	54°12'14.08"N 16°11'49.52"E	310	310	31,5	2600	2-6	4,0	0	5492	5492
120125	54°12'14.08"N 16°11'49.52"E	60	60	29,0	2600	1-5	3,0	0	17416	17416
120125	54°12'14.08"N 16°11'49.52"E	210	210	29,0	2600	1-6	3,5	0	17416	17416
120125	54°12'14.08"N 16°11'49.52"E	320	320	29,0	2600	1-6	3,5	0	17416	17416
A704521R0V06	54°12'14.08"N 16°11'49.52"E	5	5	27,3	900	0-8	4,0	0	8176	8176
A264521R2V06	54°12'14.08"N 16°11'49.52"E	5	5	27,3	1800	2-8	4,0	0	5411	5411

Tabela 2. Anteny radioliniowe- dane otrzymane od klienta

Typ anteny	Współrzędne geograficzne	Azymut [°]	Średnica [m]	Pasmo częstotliwości [GHz]	Zysk energetyczny [dBi]	Moc wyjściowa nadajnika [dBm]	EIRP [W]	Wysokość środka elektrycznego anten n.p.t. [m]
VHLP1-80	54°12'14.08"N 16°11'49.52"E	39	0,3	80	43,5	4	56,23	26,6
VHLP1-80	54°12'14.08"N 16°11'49.52"E	295	0,3	80	43,5	4	56,23	27,5

6. Wyniki pomiarów.

Wyniki pomiarów pól elektromagnetycznych dla celów ochrony środowiska przedstawia poniższa tabela. Piony pomiarowe zostały przedstawione w zał. 2.

Nr PP	Pole-E [V/m]	Pole-E *kE, +U [V/m]	Pole-H [A/m]	Pole-H *kE +U [A/m]	Wys. pomiaru [m]	Opis pionu	Uwagi	WM _E	WM _H
1	1,4	3,67	0,004	0,010	1,1	N:54°12'16.1" E:16°11'50.5"	otoczenie stacji bazowej - 50m wzdłuż gł. osi promieniowania - GKP	0,094	0,093
2	1,6	4,20	0,004	0,011	1,0	N:54°12'17.5" E:16°11'50.6"	otoczenie stacji bazowej - 100m wzdłuż gł. osi promieniowania - GKP	0,108	0,106
3	2,3	6,03	0,006	0,016	1,0	N:54°12'19.1" E:16°11'50.7"	otoczenie stacji bazowej - 150m wzdłuż gł. osi promieniowania - GKP	0,155	0,153
4	2,0	5,25	0,005	0,014	0,8	N:54°12'20.5" E:16°11'50.7"	otoczenie stacji bazowej - 200m wzdłuż gł. osi promieniowania - GKP	0,135	0,133
5	<0,8*	<2,10	<0,002	<0,006	0,3-2,0	N:54°12'22.3" E:16°11'50.9"	otoczenie stacji bazowej - 250m wzdłuż gł. osi promieniowania - GKP	<0,054	<0,053
6	<0,8*	<2,10	<0,002	<0,006	0,3-2,0	N:54°12'24.4" E:16°11'50.9"	otoczenie stacji bazowej - 315m wzdłuż gł. osi promieniowania - GKP	<0,054	<0,053
7	1,0	2,62	0,003	0,007	1,4	N:54°12'16.8" E:16°11'57.2"	otoczenie stacji bazowej - 150m wzdłuż gł. osi promieniowania - GKP	0,067	0,066
8	1,1	2,89	0,003	0,008	1,3	N:54°12'17.9" E:16°11'59.8"	otoczenie stacji bazowej - 200m wzdłuż gł. osi promieniowania - GKP	0,074	0,073
9	1,4	3,67	0,004	0,010	1,1	N:54°12'18.8" E:16°12'01.9"	otoczenie stacji bazowej - 250m wzdłuż gł. osi promieniowania - GKP	0,094	0,093
10	1,2	3,15	0,003	0,008	1,1	N:54°12'19.5" E:16°12'03.9"	otoczenie stacji bazowej - 300m wzdłuż gł. osi promieniowania - GKP	0,081	0,080
11	1,0	2,62	0,003	0,007	1,1	N:54°12'19.9" E:16°12'04.7"	otoczenie stacji bazowej - 315m wzdłuż gł. osi promieniowania - GKP	0,067	0,066
12	0,9	2,36	0,002	0,006	0,8	N:54°12'12.8" E:16°11'48.7"	otoczenie stacji bazowej - 50m wzdłuż gł. osi promieniowania - GKP	0,061	0,060
13	1,0	2,62	0,003	0,007	0,9	N:54°12'11.3" E:16°11'47.6"	otoczenie stacji bazowej - 100m wzdłuż gł. osi promieniowania - GKP	0,067	0,066
14	1,2	3,15	0,003	0,008	0,9	N:54°12'10.0" E:16°11'46.4"	otoczenie stacji bazowej - 150m wzdłuż gł. osi promieniowania - GKP	0,081	0,080
15	1,1	2,89	0,003	0,008	1,0	N:54°12'08.5" E:16°11'45.0"	otoczenie stacji bazowej - 200m wzdłuż gł. osi promieniowania - GKP	0,074	0,073
16	0,9	2,36	0,002	0,006	0,8	N:54°12'07.1" E:16°11'43.8"	otoczenie stacji bazowej - 250m wzdłuż gł. osi promieniowania - GKP	0,061	0,060
17	<0,8*	<2,10	<0,002	<0,006	0,3-2,0	N:54°12'05.8" E:16°11'42.4"	otoczenie stacji bazowej - 300m wzdłuż gł. osi promieniowania - GKP	<0,054	<0,053
18	<0,8*	<2,10	<0,002	<0,006	0,3-2,0	N:54°12'05.1" E:16°11'41.5"	otoczenie stacji bazowej - 315m wzdłuż gł. osi promieniowania - GKP	<0,054	<0,053
19	1,0	2,62	0,003	0,007	1,0	N:54°12'11.6" E:16°11'47.2"	otoczenie stacji bazowej - 100m wzdłuż gł. osi promieniowania - GKP	0,067	0,066
20	1,0	2,62	0,003	0,007	0,8	N:54°12'10.3" E:16°11'45.3"	otoczenie stacji bazowej - 150m wzdłuż gł. osi promieniowania - GKP	0,067	0,066
21	1,1	2,89	0,003	0,008	0,9	N:54°12'09.2" E:16°11'43.6"	otoczenie stacji bazowej - 200m wzdłuż gł. osi promieniowania - GKP	0,074	0,073
22	<0,8*	<2,10	<0,002	<0,006	0,3-2,0	N:54°12'08.1" E:16°11'42.1"	otoczenie stacji bazowej - 300m wzdłuż gł. osi promieniowania - GKP	<0,054	<0,053
23	<0,8*	<2,10	<0,002	<0,006	0,3-2,0	N:54°12'06.3" E:16°11'39.8"	otoczenie stacji bazowej - 315m wzdłuż gł. osi promieniowania - GKP	<0,054	<0,053
24	1,3	3,41	0,003	0,009	1,3	N:54°12'15.4" E:16°11'48.4"	otoczenie stacji bazowej - 50m wzdłuż gł. osi promieniowania - GKP	0,088	0,086
25	1,6	4,20	0,004	0,011	1,1	N:54°12'16.6" E:16°11'45.8"	otoczenie stacji bazowej - 100m wzdłuż gł. osi promieniowania - GKP	0,108	0,106
26	1,5	3,94	0,004	0,010	1,1	N:54°12'17.6" E:16°11'43.4"	otoczenie stacji bazowej - 150m wzdłuż gł. osi promieniowania - GKP	0,101	0,100
27	0,9	2,36	0,002	0,006	1,1	N:54°12'18.3" E:16°11'41.3"	otoczenie stacji bazowej - 200m wzdłuż gł. osi promieniowania - GKP	0,061	0,060
28	0,8	2,10	0,002	0,006	0,8	N:54°12'19.8" E:16°11'38.4"	otoczenie stacji bazowej - 265m wzdłuż gł. osi promieniowania - GKP	0,054	0,053

29	<0,8*	<2,10	<0,002	<0,006	0,3-2,0	N:54°12'20.2" E:16°11'37.2"	otoczenie stacji bazowej - 300m wzdłuż gł. osi promieniowania - GKP	<0,054	<0,053
30	<0,8*	<2,10	<0,002	<0,006	0,3-2,0	N:54°12'20.5" E:16°11'36.5"	otoczenie stacji bazowej - 315m wzdłuż gł. osi promieniowania - GKP	<0,054	<0,053
31	1,6	4,20	0,004	0,011	1,0	N:54°12'16.8" E:16°11'46.2"	otoczenie stacji bazowej - 100m wzdłuż gł. osi promieniowania - GKP	0,108	0,106
32	1,5	3,94	0,004	0,010	0,8	N:54°12'17.9" E:16°11'44.3"	otoczenie stacji bazowej - 150m wzdłuż gł. osi promieniowania - GKP	0,101	0,100
33	0,9	2,36	0,002	0,006	1,1	N:54°12'19.2" E:16°11'42.5"	otoczenie stacji bazowej - 200m wzdłuż gł. osi promieniowania - GKP	0,061	0,060
34	0,8	2,10	0,002	0,006	1,0	N:54°12'20.4" E:16°11'40.7"	otoczenie stacji bazowej - 250m wzdłuż gł. osi promieniowania - GKP	0,054	0,053
35	<0,8*	<2,10	<0,002	<0,006	0,3-2,0	N:54°12'21.5" E:16°11'39.2"	otoczenie stacji bazowej - 300m wzdłuż gł. osi promieniowania - GKP	<0,054	<0,053
36	<0,8*	<2,10	<0,002	<0,006	0,3-2,0	N:54°12'21.8" E:16°11'38.5"	otoczenie stacji bazowej - 315m wzdłuż gł. osi promieniowania - GKP	<0,054	<0,053
37	1,4	3,67	0,004	0,010	0,9	N:54°12'15.9" E:16°11'51.3"	otoczenie stacji bazowej - 50m wzdłuż gł. osi promieniowania - GKP	0,094	0,093
38	1,1	2,89	0,003	0,008	0,9	N:54°12'13.7" E:16°11'48.1"	otoczenie stacji bazowej - 50m wzdłuż gł. osi promieniowania - GKP	0,074	0,073
39	1,2	3,15	0,003	0,008	1,4	N:54°12'14.5" E:16°11'54.4"	otoczenie stacji bazowej - GKP	0,081	0,080
40	0,8	2,10	0,002	0,006	1,3	N:54°12'13.7" E:16°11'52.2"	otoczenie stacji bazowej - GKP	0,054	0,053
41	0,9	2,36	0,002	0,006	1,1	N:54°12'11.9" E:16°11'54.2"	otoczenie stacji bazowej - GKP	0,061	0,060
42	0,8	2,10	0,002	0,006	1,1	N:54°12'10.3" E:16°11'51.4"	otoczenie stacji bazowej -PKP	0,054	0,053
43	0,9	2,36	0,002	0,006	1,1	N:54°12'12.5" E:16°11'45.8"	otoczenie stacji bazowej - GKP	0,061	0,060
44	0,9	2,36	0,002	0,006	0,8	N:54°12'14.6" E:16°11'46.9"	otoczenie stacji bazowej - GKP	0,061	0,060
45	1,5	3,94	0,004	0,010	0,9	N:54°12'16.7" E:16°11'48.5"	otoczenie stacji bazowej - GKP	0,101	0,100
46	1,0	2,62	0,003	0,007	0,9	N:54°12'17.8" E:16°11'48.4"	otoczenie stacji bazowej - GKP	0,067	0,066
A	2,0	5,25	0,005	0,014	1,4	Śniadeckich 3a, pomiar przed budynkiem -DPP		0,135	0,133
B	<0,8*	<2,10	<0,002	<0,006	0,3-2,0	Śniadeckich 3, pomiar przed budynkiem -DPP		<0,054	<0,053
C	0,9	2,36	0,002	0,006	1,2	Jana Pawła II 1a, pomiar przed budynkiem -DPP		0,061	0,060
D	0,9	2,36	0,002	0,006	1,5	Fałata 17a, pomiar przed budynkiem -DPP		0,061	0,060
E	<0,8*	<2,10	<0,002	<0,006	0,3-2,0	Jana Pawła II 2c, pomiar przed budynkiem -DPP		<0,054	<0,053
F	0,8	2,10	0,002	0,006	1,3	Jana Pawła II 2, pomiar przed budynkiem -DPP		0,054	0,053
G	<0,8*	<2,10	<0,002	<0,006	0,3-2,0	Jana Pawła II 4, pomiar przed budynkiem -DPP		<0,054	<0,053
H	<0,8*	<2,10	<0,002	<0,006	0,3-2,0	Śniadeckich 5, pomiar przed budynkiem -DPP		<0,054	<0,053
I	1,0	2,62	0,003	0,007	1,5	Śniadeckich 2, pomiar przed budynkiem -DPP		0,067	0,066
J	1,2	3,15	0,003	0,008	1,2	Śniadeckich 2, pomiar przed budynkiem -DPP		0,081	0,080
K	1,1	0,00	0,003	0,000	1,5	Śniadeckich 2, pomiar przed budynkiem -DPP		0,000	0,000
L	1,0	2,62	0,003	0,007	1,4	Śniadeckich 2, pomiar przed budynkiem -DPP		0,067	0,066
M	1,0	2,62	0,003	0,007	1,3	Śniadeckich 2, pomiar przed budynkiem -DPP		0,067	0,066

wynik pomiaru pole - E [V/m] - maksymalna wartość chwilowa zmierzona w danych pionie pomiarowym

* poniżej czułości zestawu pomiarowego

GKP - główne kierunki pomiarowe

PKP - pomocnicze kierunki pomiarowe

DPP- dodatkowe punkty pomiarowe

PP – pion pomiarowy

U - niepewność pomiarowa rozszerzona, przy poziomie ufności 95%, z uwzględnieniem współczynnika rozszerzenia k=2

kE– poprawka pomiarowa badanej instalacji radiokomunikacyjnej podana przez operatora (kE=1,65), poprawka pomiarowa w przypadku oddziaływania innych instalacji radiokomunikacyjnych na badany obszar (kE=2,0)

WM_E - wartość wskaźnikowa poziomu emisji pól elektromagnetycznych dla miejsc dostępnych dla ludności dla składowej elektrycznej pola

„Bez pisemnej zgody Laboratorium niniejsze sprawozdanie nie może być powielane inaczej, jak tylko w całości. Ponadto wyniki dotyczą tylko badanych obiektów przywołanych w niniejszym sprawozdaniu z badań”

2/12/OŚ/2020-DGC

Strona 7 z 11

W_{M_H} - wartość wskaźnikowa poziomu emisji pól elektromagnetycznych dla miejsc dostępnych dla ludności dla składowej magnetycznej pola

Przyjęto najniższą dopuszczalną wartość składowej elektrycznej pola dla objętego pomiarami zakresu częstotliwości $\min(ME_{gr}) = 38,8 \text{ V/m}$ oraz składowej magnetycznej $\min(MH_{gr}) = 0,105 \text{ A/m}$.

7. Stwierdzenie zgodności

Na podstawie wytycznych podanych w Rozporządzeniu Ministra Zdrowia z dnia 17 grudnia 2019 r. w sprawie dopuszczalnych poziomów pól elektromagnetycznych w środowisku (Dz.U. 2019 poz. 2448) oraz sposobów sprawdzania dotrzymania tych poziomów zgodnie z Rozporządzeniem Ministra Klimatu z dnia 17 lutego 2020 r. w sprawie sposobów sprawdzania dotrzymania dopuszczalnych poziomów pól elektromagnetycznych w środowisku (Dz.U. 2020 poz. 258) dotyczących źródła wymagań, które muszą być spełnione (załącznik do rozporządzenia Ministra Klimatu z dnia 17 lutego 2020 r. (poz. 258)), w oparciu o zasadę podejmowania decyzji zgodną z pkt 26 załącznika do rozporządzenia Ministra Klimatu z dnia 17 lutego 2020 r. (poz. 258), na podstawie wyników pomiarów pól elektromagnetycznych wykonanych w dniu 30.12.2020 stwierdzono, iż w miejscach dostępnych dla ludności, dopuszczalne poziomy pól elektromagnetycznych w środowisku, określone w przepisach wydanych na podstawie art. 122 ust. 1 ustawy z dnia 27 kwietnia 2001 r. – Prawo ochrony środowiska, uznaje się za dotrzymane w obszarze pomiarowym, w którym w wyniku zastosowania sposobu sprawdzenia dotrzymania dopuszczalnych poziomów pól elektromagnetycznych w środowisku, udokumentowano, że żadna z wartości wskaźnikowych nie przekracza wartości 1.

8. Oświadczenie.

Wyniki badania odnoszą się wyłącznie do badanego obiektu.

Bez pisemnej zgody sprawozdanie nie może być powielane inaczej, jak tylko w całości.

Uwagi i zastrzeżenia przyjmowane są w formie pisemnej w ciągu 14 dni od daty otrzymania sprawozdania.

9. Spis załączników.

Załącznik 1. Lokalizacja obiektu.

Załącznik 2. Widok pionów pomiarowych

Załącznik 3. Załączniki graficzne

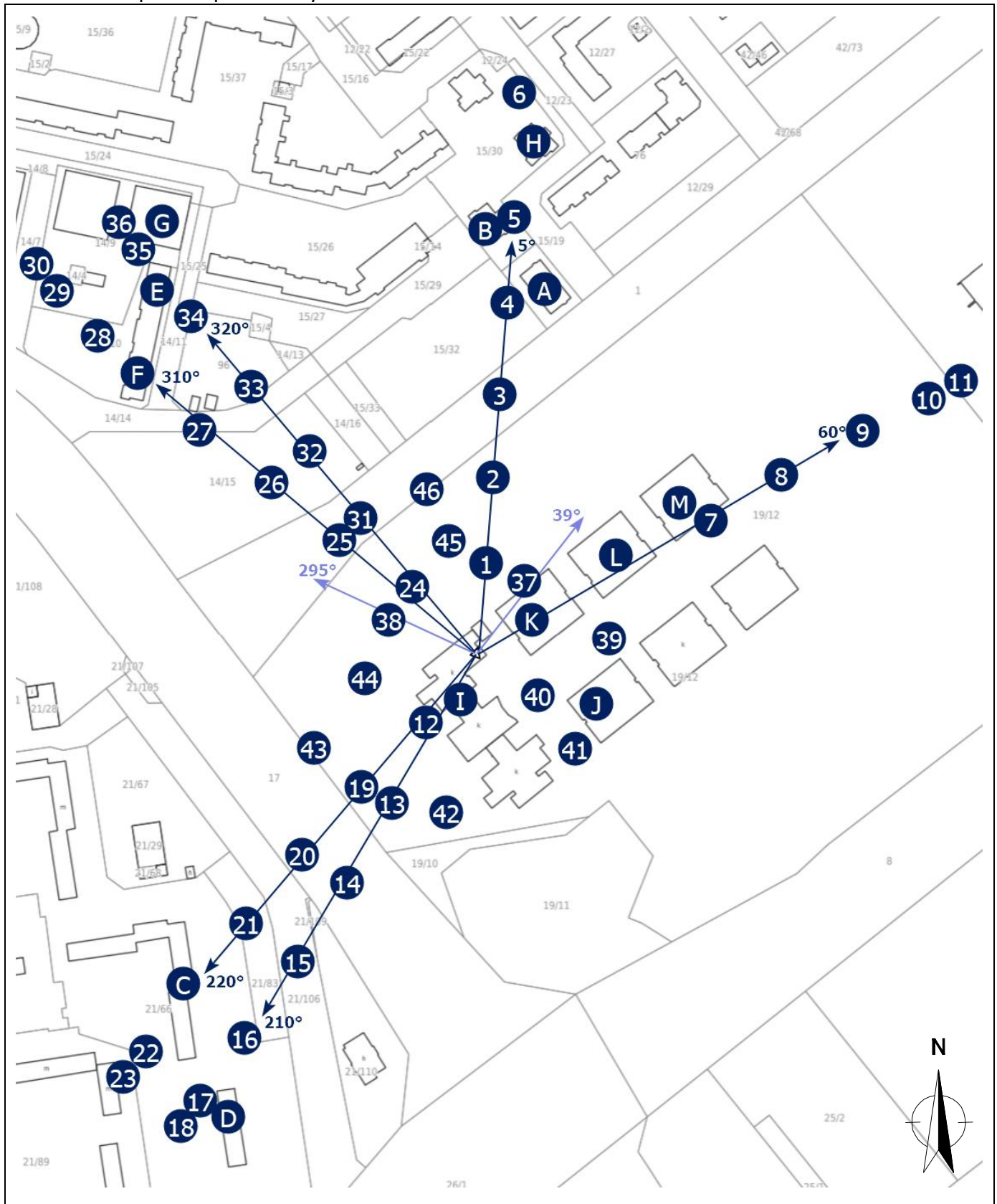
Koniec sprawozdania

Zał. 1. Lokalizacja obiektu



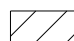
Współrzędne geograficzne	
długość:	16°11'49.52"E
szerokość:	54°12'14.08"N


Załącznik 2. Widok pionów pomiarowych



LEGENDA:

 inna instalacja radiokomunikacyjna

 brak dostępu

 nr pion pomiarowy z poprawką pomiarową (brak innych instalacji radiokomunikacyjnych)

 nr pion pomiarowy z poprawką pomiarową (w zasięgu innych instalacji radiokomunikacyjnych)

 antena sektorowa

 antena radioliniowa

Odległość, do której zostały wykonane pomiary mierząc od instalacji antenowej wynosi min.: 315 metrów.

Skala: 1:3800



„Bez pisemnej zgody Laboratorium niniejsze sprawozdanie nie może być powielane inaczej, jak tylko w całości. Ponadto wyniki dotyczą tylko badanych obiektów przywołanych w niniejszym sprawozdaniu z badań”

2/12/OŚ/2020-DGC

Strona 10 z 11

Załącznik 3. Załączniki graficzne.

